

УДК 621.9.048.4

МАТЕМАТИЧЕСКОЕ ОПИСАНИЕ ПАРАМЕТРОВ УДАРНОГО ВЗАИМОДЕЙСТВИЯ ВИБРОАКУСТИЧЕСКОЙ СИСТЕМЫ С ЖЕСТКИМ ОСНОВАНИЕМ

*Докт. техн. наук, проф. КИСЕЛЕВ М. Г.,
канд. физ.-мат. наук, доц. НИФАГИН В. А., асп. ДРОЗДОВ А. В.*

Белорусский национальный технический университет

В процессе изготовления изделий из драгоценных камней и различных монокристаллов в настоящее время широко применяется операция их механического распиливания, т. е. разделения заготовок на части, которая характеризуется весьма низкой производительностью. С целью ее повышения известны попытки вводить в зону распиливания ультразвуковые колебания [1, 2], сообщая их обрабатываемой заготовке в направлении перпендикулярной торцевой (режущей) поверхности распиловочного диска. Для реализации виброударного режима взаимодействия распиловочного диска с обрабатываемой заготовкой и дальнейшего повышения производительности было предложено использовать экспериментальную установку с акустической колебательной системой разомкнутого типа, реализующую ударное взаимодействие элементов в системе «инструмент – обрабатываемая заготовка» (рис. 1).

Установка для распиливания кристаллов алмаза содержит станину 1, на которой установлены две пары стоек: передняя 2 и задняя 3. В передней паре стоек в бронзографитовых подшипниках скольжения вращается шпиндель 4 с распиловочным диском 5. Задняя пара стоек станины распиловочной секции служит для установки стрелы 6 с оправками 7, в которых закрепляется обрабатываемая заготовка 8. Для ориентации обрабатываемой заготовки относительно распиловочного диска к концу одной из оправок с помощью резьбового крепления прикреплялся фланец, в котором был выполнен квадратный паз с размером стороны 6 мм.

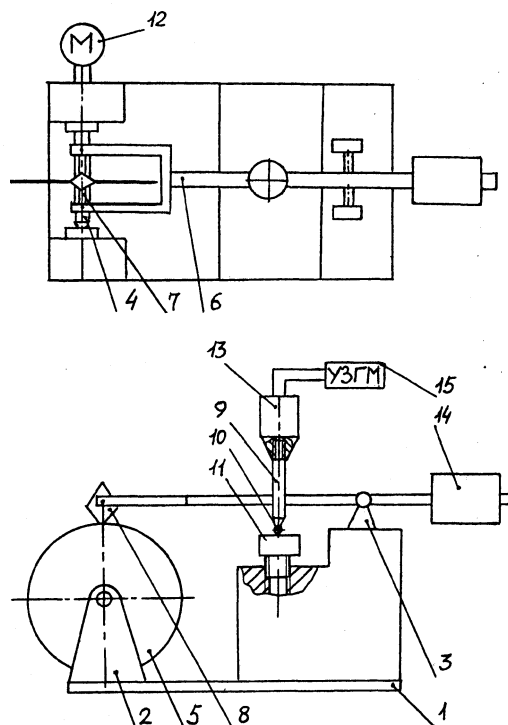


Рис. 1. Схема установки для распиливания кристаллов алмаза

Стрела жестко связана со стержнем-концентратором 9 с помощью двух зажимных винтов. Стержень-концентратор имеет полуволновую длину и конический наконечник для усиления амплитуды колебаний.

Стержень-концентратор через промежуточный элемент 10 опирается на регулировочную платформу 11, на которой выполнена резьба с мелким шагом. На торце конического наконечника

нечника выполнена сферическая поверхность, с которой сопрягается подвижный промежуточный элемент в виде стального шарика.

Изменение угла наклона стрелы и подача заготовки на распиловочный диск, а также ее отвод происходят при повороте регулировочной платформы вокруг своей оси и перемещении ее с помощью резьбового соединения относительно станины распиловочной секции. Обрабатываемая заготовка вклеивается в квадратный паз на фланце оправки и поджимается второй оправкой, закрепленной в шарнирном устройстве стрелы. Вращение шпинделя осуществляется с помощью плоскоременной передачи (на рисунке не показана) от синхронного электродвигателя 12. Ультразвуковой преобразователь 13 установлен над стержнем-концентратором и контактирует с ним с помощью резьбового соединения. Для уравнивания стрелы и создания рабочего давления на обрабатываемой заготовке установлен регулируемый противовес 14. Для возбуждения виброударного режима работы в зоне распиливания были использованы ультразвуковая аппаратура, включающая генератор 15 ультразвуковых колебаний УЗГМ выходной мощностью до 40 Вт с частотой в пределах 22...44 кГц и пьезоэлектрический преобразователь с номинальной частотой 44 кГц.

Установка работает следующим образом. Включается электродвигатель установки. При помощи регулировочной платформы стрела с закрепленным кристаллом опускается на режущий инструмент. Включается ультразвуковой преобразователь, от которого колебания передаются через стрелу на кристалл. По мере углубления режущего инструмента в кристалл механизмом изменения угла наклона стрелы опускают регулировочную платформу и, меняя параметры ультразвукового воздействия, добиваются максимального качества поверхности на начальном и конечном этапах распиловки и значительного повышения производительности в промежутке между этими этапами.

Таким образом, при работе данной экспериментальной установки довольно просто реализуется виброударный режим взаимодействия

виброакустической системы с жестким основанием.

Виброакустическая система с абсолютно жестким основанием совершает движение в направлении основания (рис. 2) и входит с последним в виброконтакт, продолжающийся до момента ее торможения по мере накопления импульса реакции основания и последующего разгона в обратном направлении. После выхода из виброконтакта система совершает движение лишь под действием статического усилия, которое возвращает ее к основанию. Затем процесс периодически повторяется.

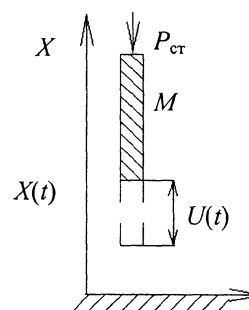


Рис. 2. Модель взаимодействия ультразвукового вибратора с жестким основанием

Режим взаимодействия торца виброэлемента с основанием, называемый фазой I , является кратным (рис. 3) и характеризуется большим числом $N = t^*/T_{ак}$ соударений за время t^* длительности фазы I торможения и обратного отхода системы от основания на контактное расстояние $2A$.

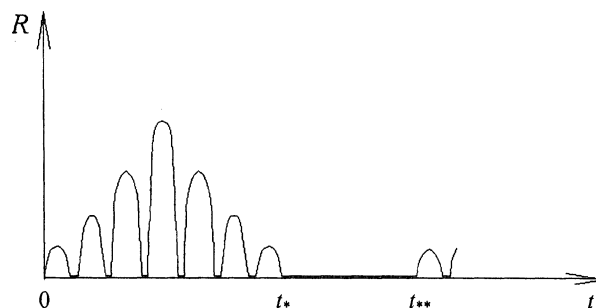


Рис. 3. Характер взаимодействия торца элемента с основанием

Используем модель виброакустической системы, предложенную в [3] и состоящую из сосредоточенной массы M , нагруженной статическим (постоянным) усилием $P_{ст}$ и снаб-

женной невесомым виброэлементом с характеристикой

$$u(t) = f(t) - \frac{R(t)}{c}, \quad (1)$$

где $u(t)$ – смещение торца элемента относительно положения $x(t)$ массы M ; $R(t)$ – усилие на торце элемента при контакте с основанием ($R \geq 0$); c – жесткость системы; $f(t)$ – закон колебаний ненагруженного торца (при $R = 0$).

Например, $f(t) = A(1 - \gamma(t) \cos \omega_{ак} t)$ – для гармонического ультразвукового колебания с частотой $\nu_k = \frac{\omega_{ак}}{2\pi}$ и периодом $T_{ак} = \frac{1}{\nu_{ак}}$, где $\gamma(t)$ – монотонно убывающая функция, например $\gamma(t) = ae^{-bt}$, $a > 0$; $b \geq 0$.

Соотношение (1) использовалось в [3] для оценки импульса и длительности при единичном соударении виброэлемента и основания. В частности, при $2cA > P_{ст}$ контакт взаимодействия является виброударным, когда его длительность T_c оказывается меньше периода $T_{ак}$ ультразвуковых колебаний. Поэтому кратный режим соударений предполагает дискретный момент передачи импульса, что неудобно для его математического описания и затрудняет в этом случае использование указанных в [3] оценок, приводя к необходимости суммирования большого числа малых слагаемых.

С целью преодоления указанных затруднений и перевода дискретных представлений в непрерывные целесообразно усреднить переданный за время T_c импульс на период $T_{ак}$ ультразвука, т. е. за время T_c импульс составит

$$I_{ак} = \int_{\Gamma} R(t) dt,$$

где Γ – множество временных интервалов контакта, когда $R(t) \geq 0$.

Внося сюда соотношение (1) для усилия на торце, имеем

$$I_{ак} = c \int_{\Gamma} (f(t) - u(t)) dt.$$

Тогда осредненный (за единицу времени) импульс в течение времени $T_{ак}$ составит

$$I_{ср} = \frac{c}{T_{ак}} \int_{\Gamma} (f(t) - u(t)) dt.$$

Так как $u(t) = x(t)$ на участке Γ ($\alpha \leq t \leq \beta$) контакта (рис. 2), получаем

$$I_{ср} = \frac{c}{T_{ак}} \int_{\alpha}^{\beta} (f(t) - x(t)) dt. \quad (2)$$

Кратный характер взаимодействия возможен для больших значений массы системы $M \gg I_{ак}/gT_{ак}$ (g – ускорение свободного падения). Длительность $\beta - \alpha$ единичного соударения мала по сравнению с T_c . Поэтому изменением координаты системы $x(t)$ на $\alpha \leq t \leq \beta$ можно пренебречь. Полагая поэтому $x(t) = x$ в начале очередного контакта, можно записать (2) в виде

$$I_{ср} = \frac{c}{T_{ак}} \int_{\alpha}^{\beta} (f(t) - x) dt = \frac{c}{T_{ак}} \left(\int_{\alpha}^{\beta} f(t) dt - x(\beta - \alpha) \right). \quad (3)$$

Из условия $R(t) \geq 0$ следуют соотношения для определения α , β :

$$f(\alpha) = x; \quad f(\beta) = x \quad (f(t) \geq x \text{ при } \alpha \leq t \leq \beta). \quad (4)$$

Определяя из (4) $\alpha = \alpha(x)$, $\beta = \beta(x)$ и подставляя в (3), получим зависимость $I_{ср}(x)$ среднего (на единицу времени) импульса взаимодействия вибросистемы и основания. Тогда импульс за время t составит:

$$I(t) = \int_0^t I_{ср}(x) d\tau; \quad I_{ср} = \frac{dI}{dt}. \quad (5)$$

Например, в случае

$$f(t) = A(1 - \gamma(t) \cos \omega_{ак} t)$$

из (4) находим:

$$A(1 - \gamma(\alpha) \cos \omega_{ак} \alpha) = x; \quad A(1 - \gamma(\beta) \cos \omega_{ак} \beta) = x,$$

откуда:

$$\begin{aligned} Aa \exp^{-b\alpha} \cos \omega_{ак} \alpha &= A - x; \\ Aa \exp^{-b\beta} \cos \omega_{ак} \beta &= A - x. \end{aligned} \quad (6)$$

При этом должно выполняться условие сближения торца с основанием на расстояние виброконтакта

$$0 \leq x \leq 2A.$$

Выполняя интегрирование в (3), имеем

$$I_{cp} = \frac{dI}{dt} = \frac{c}{T_{ак}} \left((A-x)(\beta-\alpha) + \frac{Aa}{b^2 + \omega_{ак}^2} \times \right. \\ \left. \times ((b \cos \omega_{ак} \beta - \omega_{ак} \sin \omega_{ак} \beta) e^{-b\beta} + \right. \\ \left. + (\omega_{ак} \sin \omega_{ак} \alpha - b \cos \omega_{ак} \alpha) e^{-b\beta} \right).$$

Внося (6) с учетом (3), (5), получим, так как $T_{ак}\omega_{ак} = 2\pi$:

$$\frac{dI}{dt} = \frac{c}{\pi} ((A-x)(\beta_* - \alpha_*) - \alpha_* \frac{A \exp^{-b\beta_*}}{b^2 + \omega_{ак}^2} \times \\ \times (\omega_{ак} \sin \omega_{ак} \beta_* - b \cos \omega_{ак} \beta_*) + (7) \\ + \frac{aA \exp^{-b\alpha}}{b^2 + \omega_{ак}^2} (\omega_{ак} \sin \omega_{ак} \alpha - b \cos \omega_{ак} \alpha_*)),$$

где α_* , β_* – решения (6), зависящие от x .

Для упрощения зависимости можно рассмотреть вместо гармонического ультразвукового колебания его квадратичную аппроксимацию:

$$f(t) = \begin{cases} \frac{4A}{T_{ак}}(a_0 t^2 + b_0 t), & 0 \leq t \leq \frac{T_{ак}}{2}; \\ \frac{4A}{T_{ак}}(a_1 t^2 + b_1 t + c_1), & \frac{T_{ак}}{2} < t \leq T_{ак}. \end{cases} (8)$$

Причем зависимости (8) должны сохранять как амплитудное значение перемещения торца $2A$, так и максимальный импульс, сообщаемый контактирующему телу при гармоническом законе ультразвуковых колебаний.

Из (4), (8) следует:

$$\frac{4A}{T_{ак}}(a_0 \alpha^2 + b_0 \alpha) = x; (9) \\ \frac{4A}{T_{ак}}(a_1 \beta^2 + b_1 \beta + c_1) = x.$$

Из (9) отыскиваются значения α и β , из (3) получается более компактная по сравнению с (7) формула для среднего усилия взаимодействия торца с основанием.

Вообще говоря, допустимы различные аппроксимации функции $f(t)$, которые после ос-

реднения, аналогичного приведенному, приводят к иным зависимостям. Например:

$$I_{cp}(x) = cAF(x/2A). (10)$$

Функция $F(x)$ должна быть при этом монотонно убывающей на $x \in [0;1]$, причем $F(0) = 1$ и $F(1) = 0$.

Например, применяется степенная зависимость вида

$$I_{cp}(x) = cA(1 - \frac{x}{2A})^\alpha \quad (\alpha > 0) (11)$$

с параметрами c , A , α , выбираемыми экспериментально.

Соотношения (7), (10), (11) справедливы на участках $0 \leq x \leq 2A$ виброконтакта системы с основанием (фаза движения 1). При $x > 2A$ (фаза 2) принимается $I_{cp} = 0$. В то же время подобное финитное задание функции $I_{cp}(x)$ не обязательно и допустимо использовать другие аппроксимации в виде гладких функций, достаточно близких к нулю при $x > 2A$. Подобное представление в аппаратном плане более удобно, так как отпадает необходимость разделения движения на фазы.

Количество движения, сообщенное системой основанию, может быть найдено при известной $x(t)$ по формуле

$$I(t) = \int_0^t I_{cp}(x(\tau)) d\tau = cA \int_0^t F(\frac{x(\tau)}{2A}) d\tau.$$

Динамика взаимодействия системы с жестким основанием опишется следующим образом.

Для анализа закона движения $x(t)$ системы, взаимодействующей с основанием (рис. 2), запишем уравнение движения

$$M\ddot{x}(t) = -P_{ст} + I_{cp}(x) (12)$$

с начальными условиями:

$$x(0) = 2A; \quad \dot{x}(0) = -V_0, (13)$$

соответствующими началу движения $t = 0$, выбираемому в момент входа системы в зону 1, когда система располагается в точке $x(0) = 2A$.

Решение (4), (5) запишется

$$x(t) = - \int_0^t G(\tau, \xi) \Phi(\xi) d\xi + \sum_{k=1}^2 A_k x_k(t), \quad (14)$$

где

$$G(t, \xi) = \frac{\delta \sin \vartheta \left(\frac{\pi}{2} - t \right) \sin \vartheta \xi}{\vartheta \sin \vartheta}; \quad (15)$$

$$\begin{aligned} \Phi(\xi) = & \frac{c}{T_{ак}} (A(\beta - \alpha) - a \frac{A \exp^{-b\beta_*}}{b^2 + \omega_{ак}^2} \times \\ & \times (\omega_{ак} \sin \omega_{ак} \beta_* - b \cos \omega_{ак} \beta_*) + \\ & + \frac{aA \exp^{-b\alpha_*}}{b^2 + \omega_{ак}^2} (\omega_{ак} \sin \omega_{ак} \alpha_* - b \cos \omega_{ак} \alpha_*)). \end{aligned}$$

Здесь α_* , β_* зависят от ξ .

Соотношения (14), (15) определяют закон движения системы $x(t)$ при заданных линейно независимых функциях $x_k(t)$, $k = 1, 2$, и экспериментальных параметрах.

Рассмотрим малые колебания виброакустической системы (рис. 4).

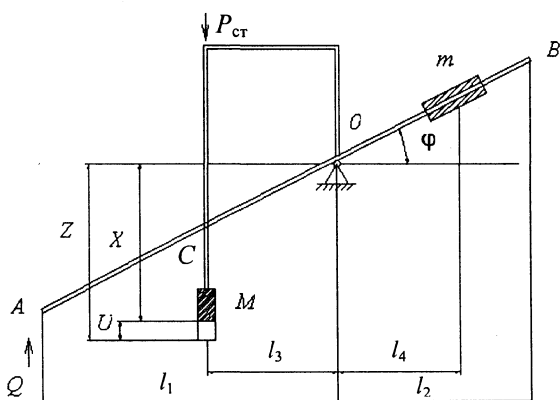


Рис. 4. Модель виброакустической системы

Уравнение движения коромысла около опоры O запишется:

$$\begin{aligned} J\ddot{\varphi} = & \frac{F_1 l_1 \left(1 + \frac{1}{\cos \varphi}\right)}{2} - \frac{F_2 l_2}{2} - P_{ст} l_4 + R l_3 - S l_3 - Q l_1; \\ J = & 1/3 \gamma (l_1^3 + l_2^3) + M l_3^2; \quad F_1 = \gamma l_1 g; \quad F_2 = \gamma l_2 g; \\ & P = mg, \end{aligned} \quad (16)$$

где M , m – массы акустического вибратора и противовеса, помещенного на участке OB волновода; γ – погонная масса коромысла AB (на

единицу длины); R – контактное усилие взаимодействия торца вибратора и коромысла; S – реакция демпфирующего элемента; $P_{ст}$ – статическое усилие прижима вибратора; Q – усилие, действующее на обрабатываемый образец; φ – малый угол отклонения коромысла ($\varphi \ll 1$).

Для контактного усилия взаимодействия вибратора с коромыслом в точке C примем осредненную зависимость:

$$R = \begin{cases} cA \left(1 - \frac{z-x}{2A}\right)^\alpha, & 0 \leq z-x \leq 2A; \\ 0, & z-x > 2A. \end{cases} \quad (17)$$

Здесь учтены соотношения: $u = z - x$ при наличии контакта; $u < z - x$ – при его отсутствии.

Вид усилия S определяется характером демпфирования коромысла, например для вязкоупругой связи можно принять

$$S = k_1 (z - z_*)^\beta + k_2 \dot{z}^\gamma \quad (18)$$

с параметрами k_1 , k_2 , β , γ , выбираемыми экспериментально.

Вид функции Q определяется механическими свойствами материала и контактирующей обрабатываемой детали.

Запишем уравнение движения массы M , пренебрегая весом крепления вибратора к коромыслу:

$$M\ddot{x} = P_{ст} - R. \quad (19)$$

Поскольку колебания коромысла малы, полагаем $z = l_3 \varphi$, и уравнение (16) перепишем в виде

$$\ddot{z} = N + (R - S) \frac{l_3^2}{J} - \frac{Q l_1 l_3}{J}, \quad (20)$$

где $N = 0,5 F_1 l_1 - F_2 l_2 - P_{ст} l_4$.

Задавая зависимости $Q(z, \dot{z})$, $R(x, z)$, $S(z, \dot{z})$, система дифференциальных уравнений (19), (20) вместе с начальными условиями:

$$x(0) = x_0; \quad \dot{x}(0) = \dot{x}_1; \quad z(0) = z_0; \quad \dot{z}(0) = \dot{z}_1 \quad (21)$$

определяет нелинейную задачу Коши для искомых функций $x(t)$, $z(t)$. Для качественного анализа данной дифференциальной модели рассмотрим подробнее основной случай, когда

прочность обрабатываемой детали велика, и перемещением рабочего торца A коромысла в течение одного акта кратного взаимодействия торца с деталью можно пренебречь. Полагая $z(t) = z_0$, при этом необходимое для обеспечения этого режима усилие Q на рабочем торце неизвестно и определяется вместе с функцией $x(t)$ из (19)...(21). Введем функции:

$$h = 1 - \frac{z_0 - x}{2A}; \quad R = cAh^\alpha \quad (h \geq 0). \quad (22)$$

Из (19) получим уравнение относительно $h(t)$

$$\ddot{h} = \frac{P_{ст}}{2AM} - \frac{ch^\alpha}{2M}. \quad (23)$$

Первый интеграл этого уравнения будет

$$\dot{h}^2 = \frac{P_{ст}h}{AM} - \frac{ch^{\alpha+1}}{M(\alpha+1)} + a_1. \quad (24)$$

Из начальных условий (21) с учетом (22) и соотношений:

$$u(0) = z_0; \quad h(0) = 1; \quad \dot{h}(0) = \dot{x}(0)/2A = x_1/2A \quad (25)$$

находим постоянную

$$a_1 = \left(\frac{x_1}{2A}\right)^2 - \frac{P_{ст}}{AM} + \frac{c}{M(\alpha+1)}. \quad (26)$$

Уравнение (24) для краткости запишем в виде

$$\dot{h}^2 = a_1 + a_2h - a_3h^{\alpha+1} \quad \left(a_2 = \frac{P_{ст}}{AM}; \quad a_3 = \frac{c}{M(\alpha+1)} \right). \quad (27)$$

Учитывая, что $\dot{h}(t) = \dot{x}(t)/2A > 0$, $h(t) \geq 1$, находим решение уравнения (27) $h(t)$ в виде

$$t = \int_1^h \frac{d\xi}{\sqrt{H(\xi)}}, \quad (28)$$

где

$$H(h) = a_1 + a_2h - a_3h^{\alpha+1}. \quad (29)$$

Интеграл (28) определен (в несобственном смысле) на $h \in [1; h_1]$, где $H(h) \geq 0$. Значение h_1 является первым положительным вещественным корнем уравнения $H(h) = 0$.

Так, при $\alpha = 1$

$$\alpha_1 = (a_2 + \sqrt{a_2^2 + 4a_1a_3})/(2a_3).$$

Искомая функция $x(t)$, согласно (22) и с учетом (28), имеет вид

$$x(t) = 2A(h(t) - 1) + z_0. \quad (30)$$

Усилие резания по (20) и (18) найдем

$$Q(t) = \frac{J}{l_1l_3} \left(N + (cAh^\alpha(\alpha) - S) \frac{l_3^2}{J} \right) \quad (31)$$

$$(S = k_1(z_0 - z_*)^\beta + k_2z_1^\gamma; \quad N = \frac{1}{2}(2F_1l_1 - F_2l_2) - P_{ст}l_4).$$

Однако необходимо заметить, что для инженерных расчетов силовых и временных параметров контактного взаимодействия элементов таких колебательных систем полученные выражения являются громоздкими и трудоемкими в вычислениях.

ЛИТЕРАТУРА

1. Пат. 1447, МКИ В 28 D 5/00. Устройство для обработки алмаза / М. Г. Киселев, В. Т. Минченя, Г. А. Галенюк. – № 224 А; Заявл. 28.01.1994; Опубл. 16.12.1996 // Афіцыйны бюлетэнь / Дзярж. пат. ведамства Рэсп. Беларусь. – 1994. – № 4, ч. 1 – С. 188.
2. Экспериментальная оценка интенсифицирующего воздействия ультразвука на производительность механического распиливания хрупких материалов / М. Г. Киселев, В. Т. Минченя, Г. А. Галенюк, С. Г. Ермоленко // Теоретические и технологические основы упрочнения и восстановления изделий машиностроения: Тез. докл. конф. – Новополоцк, 2002. – С. 633–637.
3. Киселев М. Г., Ибрагимов В. А. Математическое моделирование процесса контактного взаимодействия тел в условиях ультразвукового нагружения // Приборостроение. – 1989. – № 11. – С. 98–102.